

VIGILANCIA SINÓPTICA DE SUDAMÉRICA

JUNIO 2020



RESUMEN MENSUAL

Fig. 1

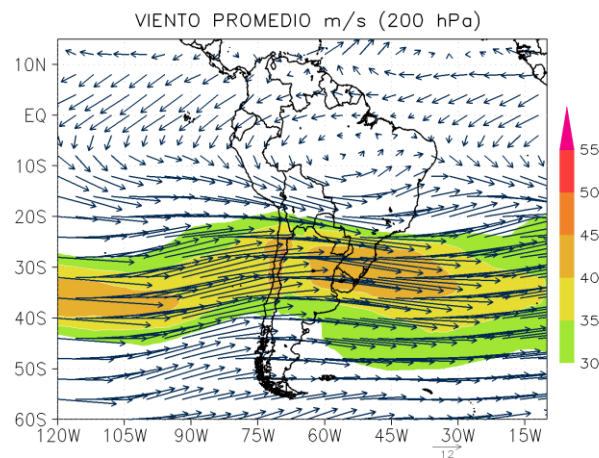


Fig. 2

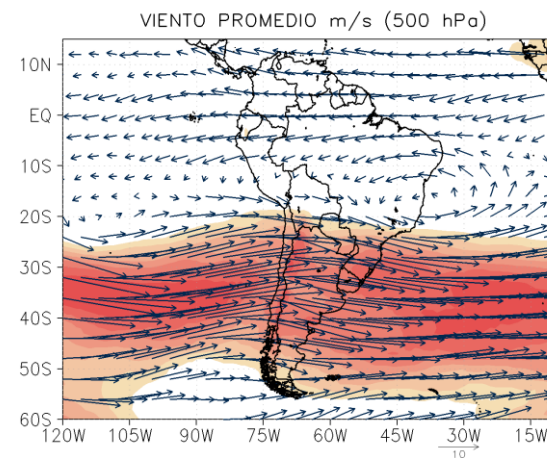
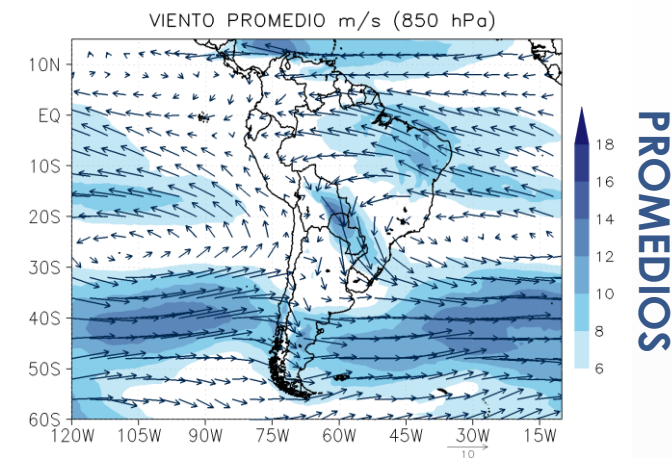


Fig. 3



PROMEDIOS

En **niveles altos**, dominó un sistema anticiclónico sobre la Amazonia, así mismo sistemas de vaguada sobre el sur de Perú y latitudes mayores, apoyan regiones de inestabilidad así como de divergencia/ convergencia en su trayecto.

En el promedio de viento de **niveles medios**, dominó flujos del este sobre la región norte de Perú, lo que favorece la advección de humedad, no obstante, el alejamiento de la circulación anticiclónica hacia el este de Brasil, permite la advección de masas de aire secas sobre el sur del país.

En **niveles bajos**, el Anticiclón del Pacífico Sur (APS) presenta valores de presión por encima de su normal, así como una configuración zonal, lo que permiten el incremento de gradiente de presión alejado de la costa oeste Sudamericana. Así mismo, anomalías positivas de presión en el Anticiclón del Atlántico Sur (AAS), permiten una menor intrusión de vientos del sur hacia latitudes tropicales, en particular, el número de eventos de friaje hacia territorio ha sido mínima. Por otro lado, anomalías negativas de agua precipitable se muestran sobre la costa peruana, y de manera aislada en el sector oriental de la selva.

Fig. 4

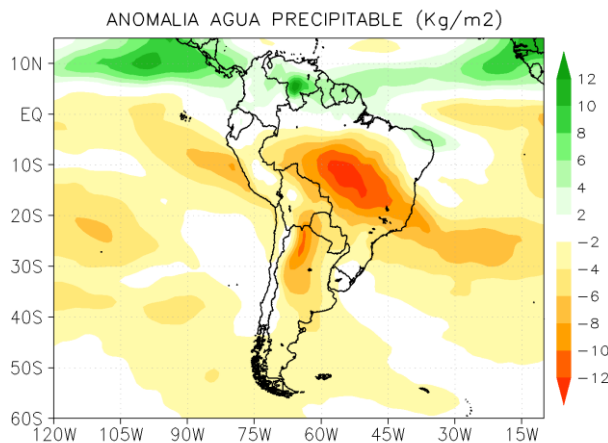
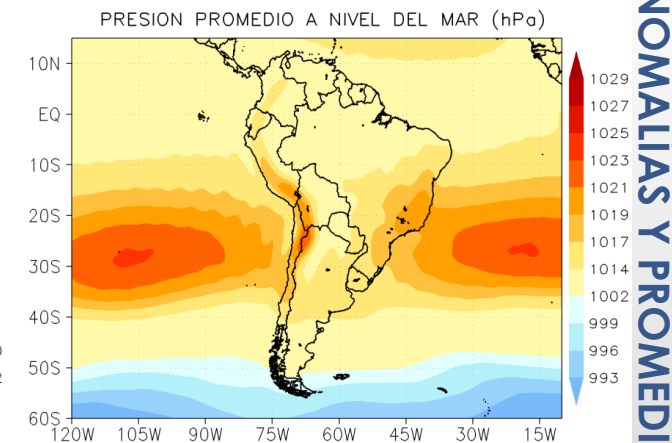


Fig. 5



ANOMALÍAS Y PROMEDIOS

DECADIARIAS

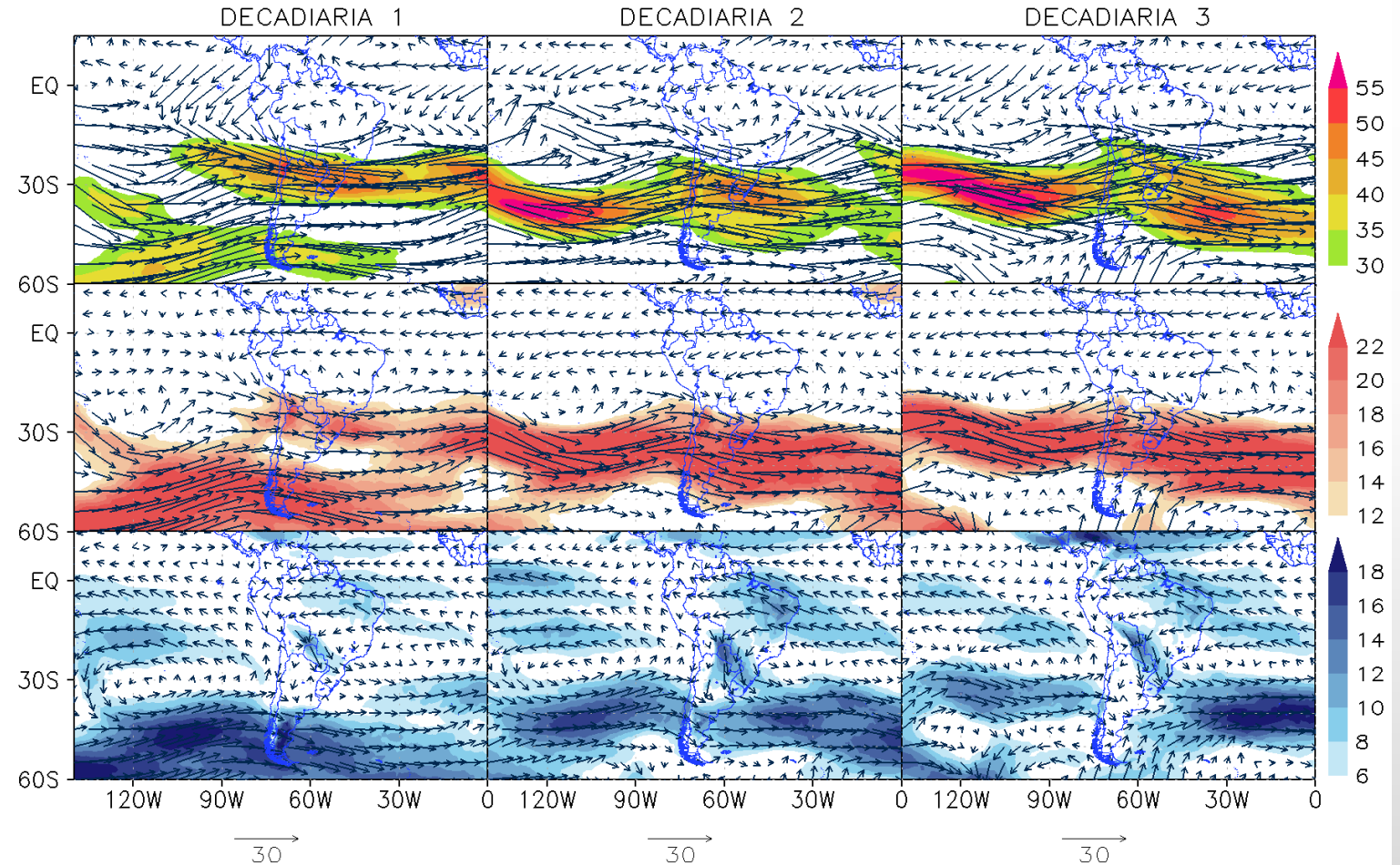
Durante la **1ra decadiaria**, un sistema anticiclónico domina sobre la región tropical, así mismo, los flujos subtropicales y extratropicales presentan una mayor componente zonal. En niveles medios, de igual manera, una circulación anticiclónica sobre la Amazonia, favorece el bloqueo de vientos del oeste. En niveles bajos, el APS muestra un mayor gradiente de presión frente a la costa central de Chile.

Durante la **2da decadiaria**, tanto en niveles medios y altos, la circulación anticiclónica migra hacia el este, lo que favorece el ingreso de patrones de vaguada/ vientos del oeste que fortalecen la sequedad en la región sur occidental de Perú. En niveles bajos, la intensificación del AAS refuerza los vientos alisios en el sector centro-este de Brasil así como, el Jet de Bajos Niveles Sudamericano.

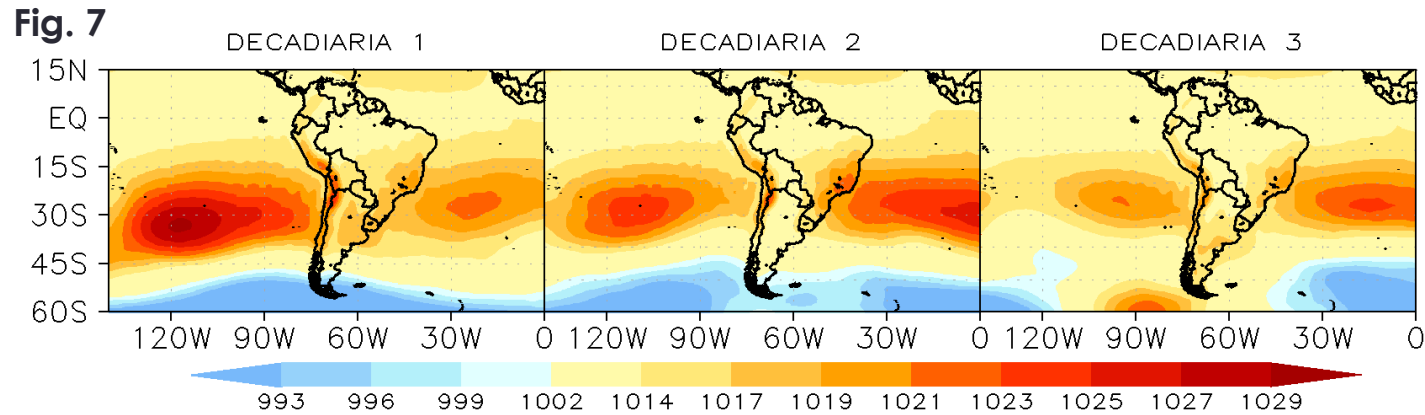
Durante la **3ra decadiaria**, en niveles altos, continúan patrones de vaguada sobre el sur del país, sin embargo, con advección de humedad hacia la región norte. En niveles medios, una circulación anticiclónica sobre el Pacífico refuerza los vientos del suroeste sobre el centro-sur del país, y en consecuencia, la disminución de temperaturas nocturnas. En niveles bajos, el APS migra hacia el norte, en una posición habitual, que fortalece el gradiente de presión en la costa centro-sur de Perú.

Fig. 6

VIENTO EN NIVELES ALTOS, MEDIOS Y BAJOS



PRESIÓN REDUCIDA A NIVEL DEL MAR

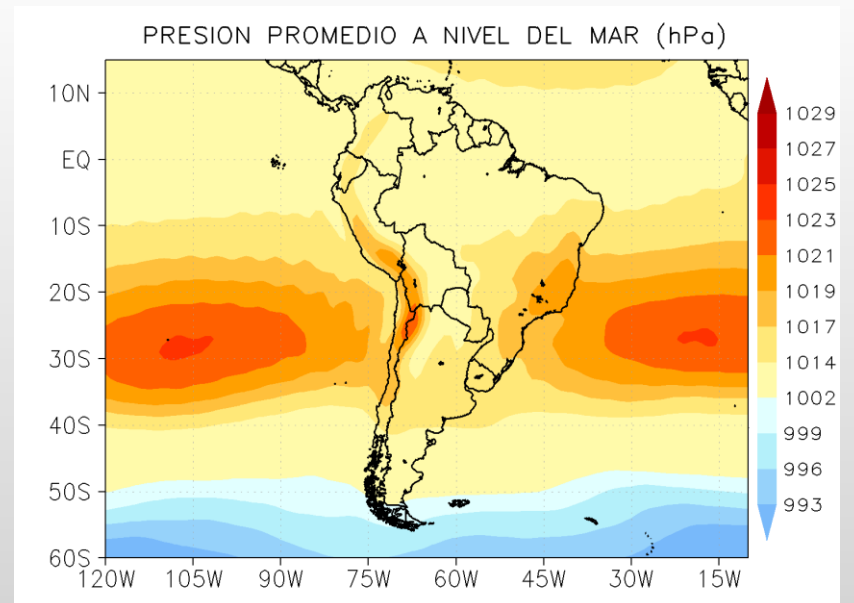


En la **primera decadiaria**, el Anticiclón del Pacífico Sur (APS) presenta valores de presión por encima de su normal, una configuración predominantemente zonal y un núcleo al oeste de su posición habitual, sin embargo, continúa permitiendo el incremento de los vientos alisios en la costa centro-norte de Chile. Por otro lado, el Anticiclón del Atlántico Sur (AAS) registra valores de presión dentro de su normal, aunque con un acercamiento zonal hacia el oeste.

En la **segunda decadiaria**, el APS presentó valores de presión dentro de su normal, aunque continúa en una posición alejada a continente, gradiente de presión alejado de las costas. En contraste, el AAS presentó anomalías positivas de presión, lo que fortalece los vientos del este en la región tropical.

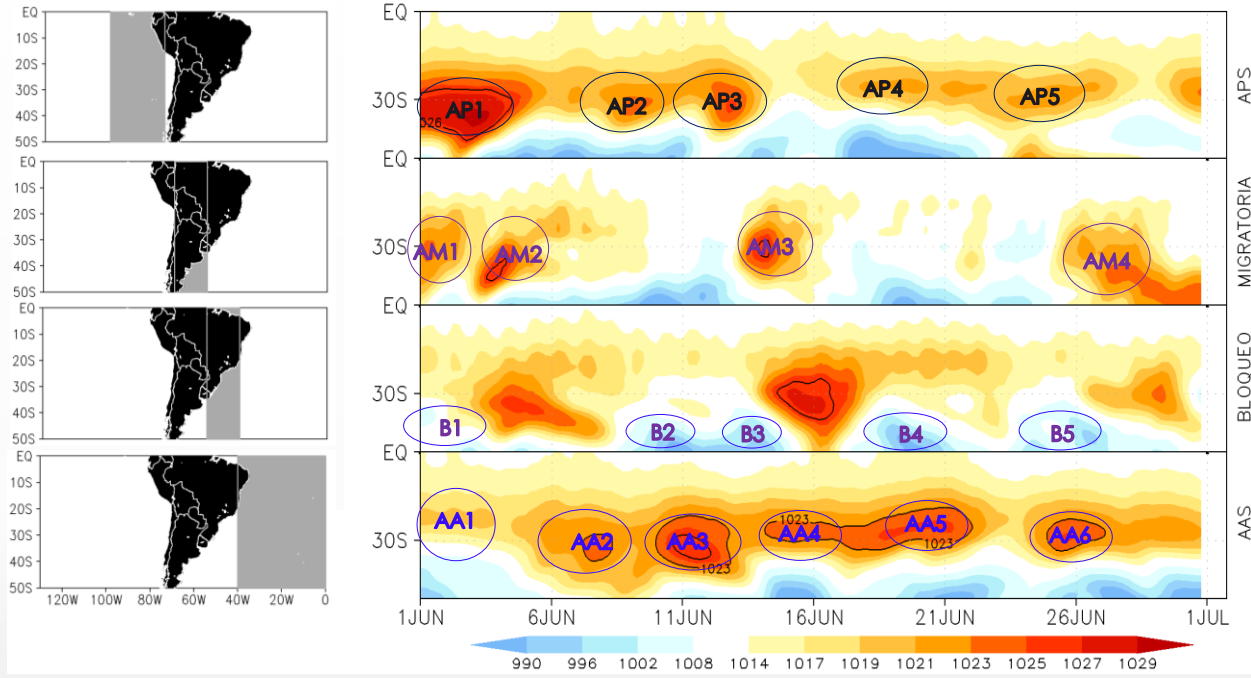
En la **tercera decadiaria**, el APS presentó condiciones normales mensuales y en su posición habitual, lo que favorece un gradiente de presión frente a la costa centro-sur de Perú. En el Atlántico, el AAS continúa con anomalías positivas de presión.

Fig. 8



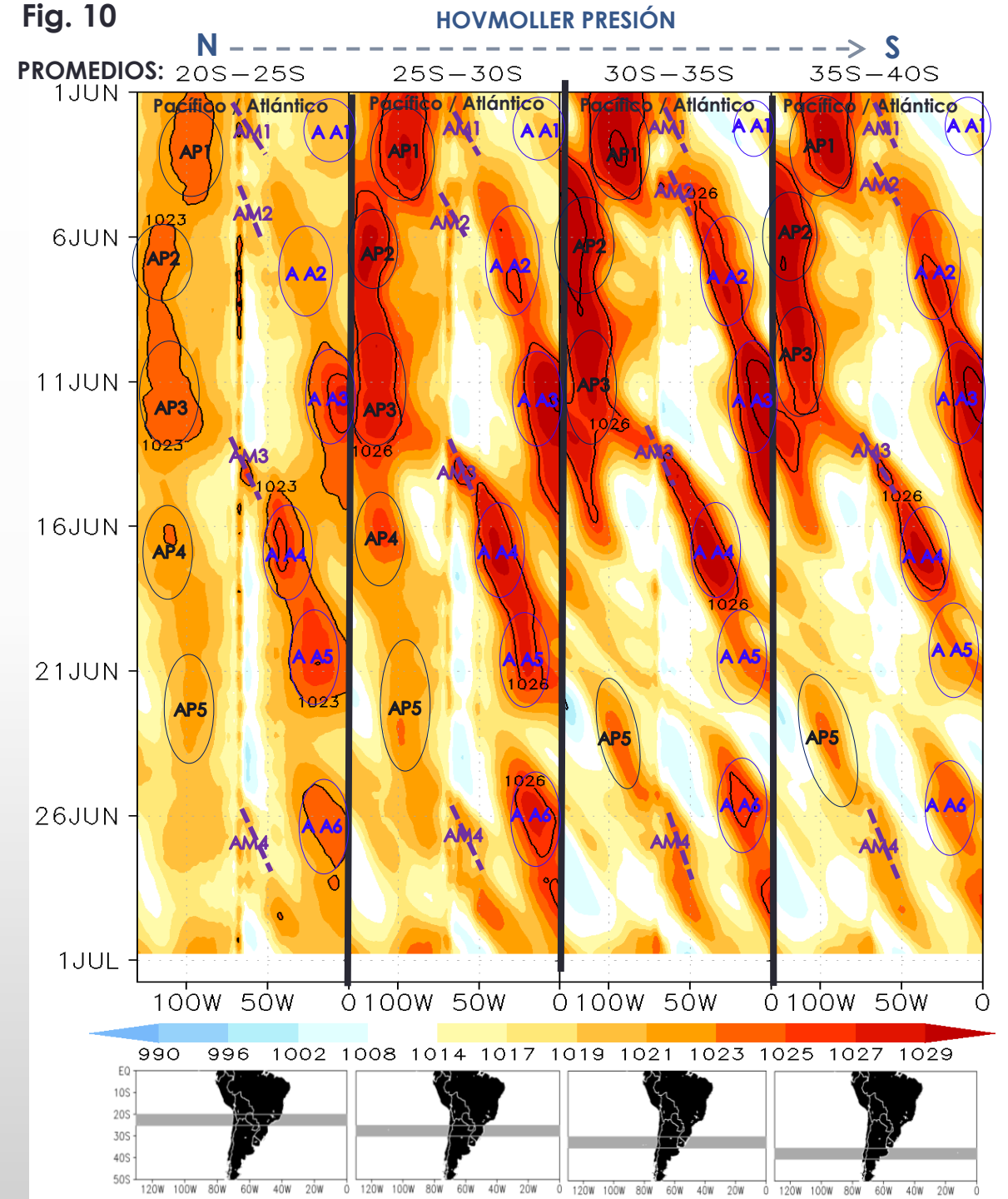
HOVMOLLER PRESIÓN

Fig. 9



En el mes de junio, se resaltan 5 núcleos del APS, siendo el más intenso, el que se presenta durante la primera decadiaria con valores superiores a los 1029 hPa. De igual manera, se observan 6 núcleos del AAS, los más intensos se registran durante la segunda y tercera decadiaria con valores superiores a los 1023 hPa. Por otro lado, se presentan 4 altas migratorias (AM), sin embargo, sin la energía necesaria para migrar hacia altas latitudes tropicales y generar descensos de temperatura en la Amazonia Peruana.

Fig. 10

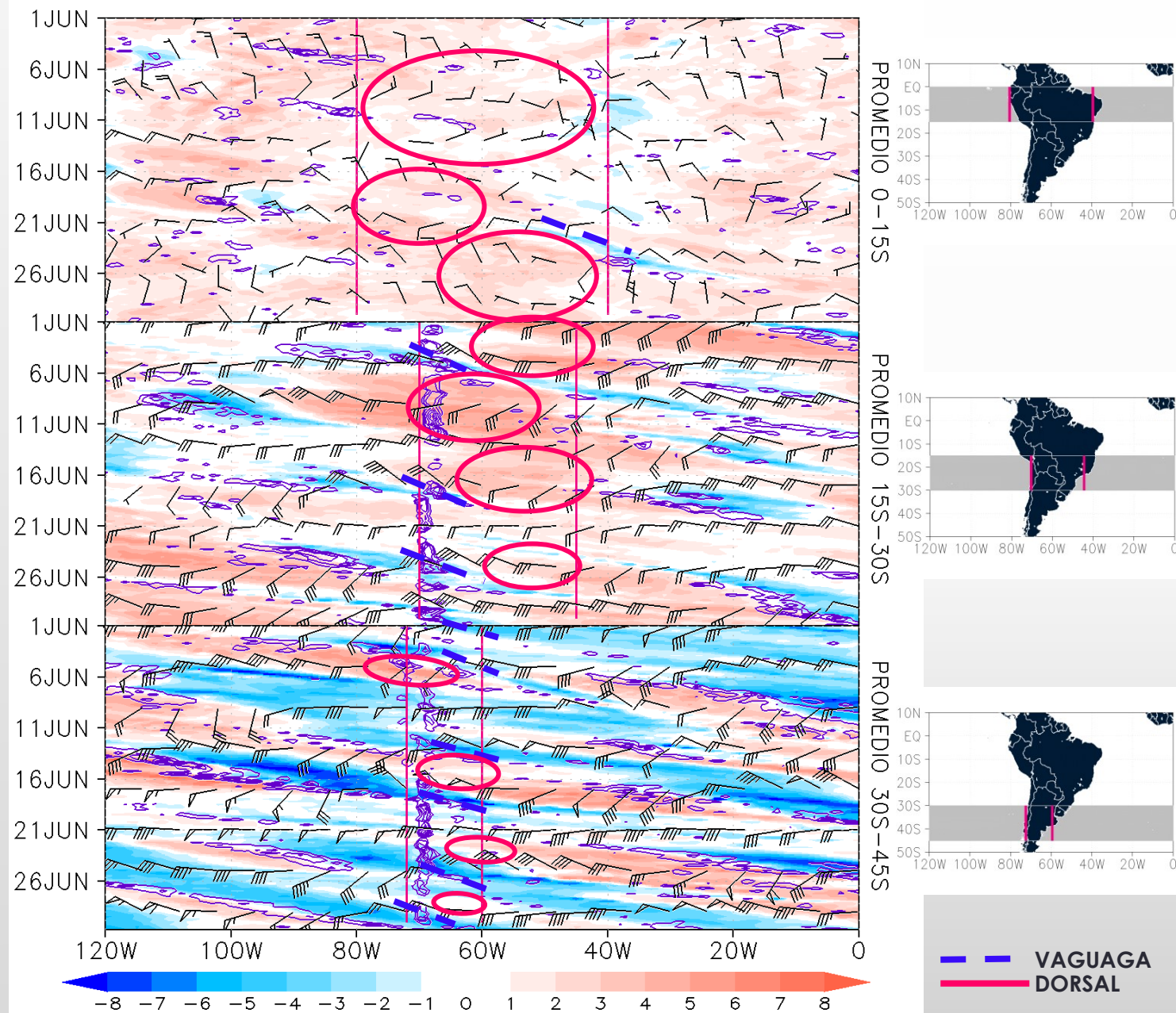


NIVELES ALTOS

- En latitudes tropicales (0-15°S), durante la primera decadiaria, dominó una circulación anticiclónica en gran parte de la región, condición que favorece anomalías positivas de precipitación en la sierra del país. A partir de la segunda decadiaria, sistemas de vaguadas y vientos del oeste inhiben la precipitación en los Andes Peruanos.
- En latitudes entre 15 y 30°S, dominó circulaciones anticiclónicas durante la primera decadiaria. En la segunda y tercera decadiaria, en similitud con latitudes tropicales, vaguadas apoyan la inestabilidad sobre la región, la corriente en chorro se observa intensificada durante la última semana.
- En latitudes mayores (30-45°S), se observó una predominancia de circulaciones ciclónicas. Sin embargo, en contraste con la primera decadiaria, en donde el flujo contiene una mayor componente zonal, patrones de dorsal también se aprecian a partir de la segunda decadiaria.

Fig. 11

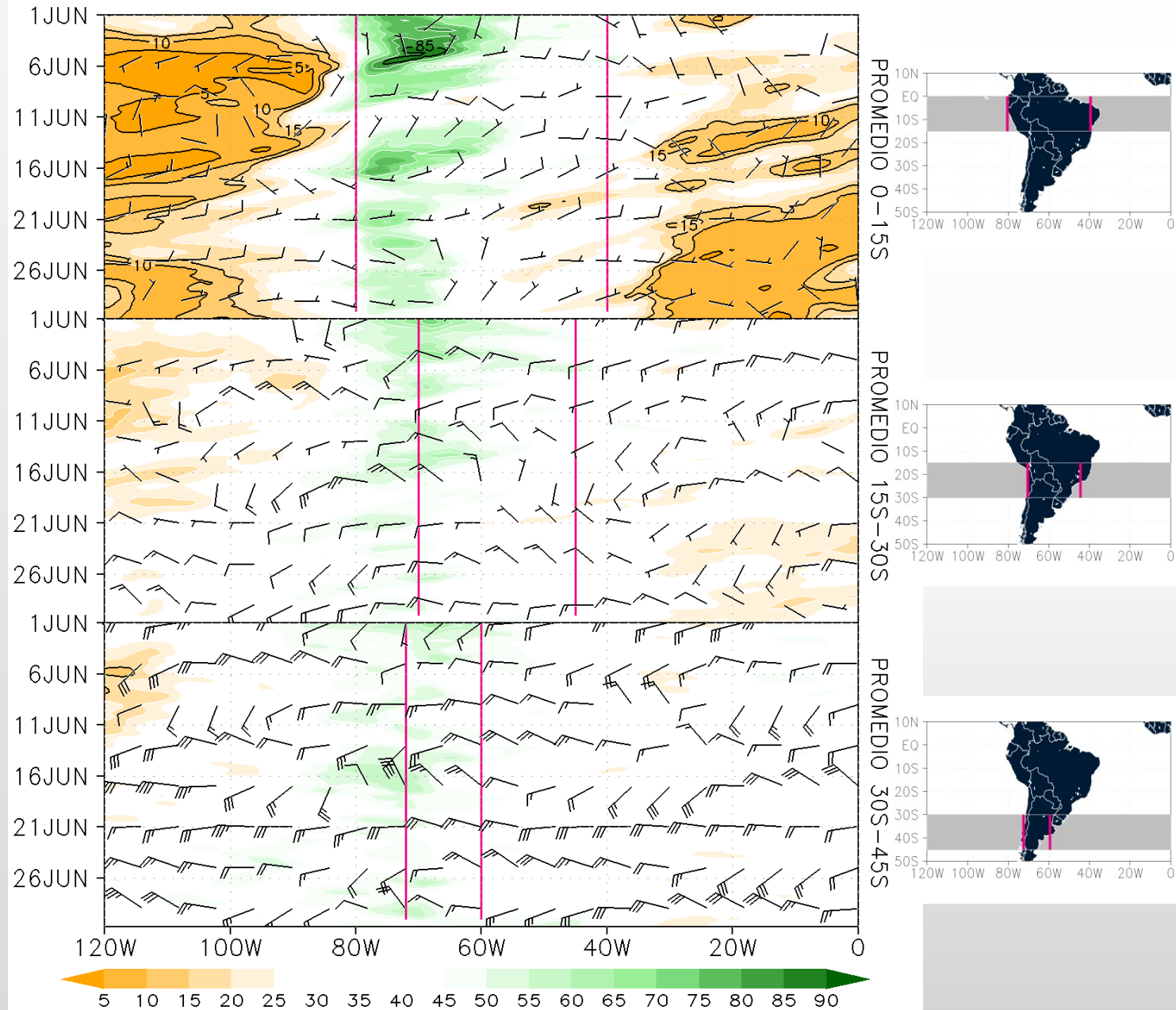
HOVMOLLER VORTICIDAD RELATIVA (sombreado) Y VIENTO (barbas) EN 200 hPa



NIVELES MEDIOS

- En latitudes tropicales (0-15°S), se presentaron valores altos de humedad durante la primera decadiaria. Resaltar, vientos del este comparativamente más intensos durante dicho periodo. A partir de la segunda decadiaria, la circulación anticiclónica en la Amazonia migra hacia el este, lo que favorece el ingreso de vientos del oeste con contenido de vapor de agua más secos.
- En la zona central de Sudamérica (15-30°S) así como en latitudes extratropicales (30-45°S), se observa un mayor grado de humedad generalizada durante la primera decadiaria. En contraste, a partir de la segunda decadiaria, los eventos de saturación atmosférica corresponden a eventos puntuales de vaguadas.

Fig. 12 HOVMOLLER HUMEDAD RELATIVA PROMEDIO 500-600 (sombreado) Y VIENTO (barbas) 500 hPa PROMEDIO



NIVELES BAJOS

- En latitudes cercanas al Ecuador, se observó valores de relación de mezcla superiores a los 13 g/Kg durante la primera decadiaria, en adelante, la convergencia de humedad se ve fortalecida hacia latitudes subtropicales.
- En latitudes entre 15-30°S, se presentó los mayores valores de relación de mezcla (mayores a 11 g/Kg) durante la segunda y tercera decadiaria, situación favorecida por el transporte meridional y la convergencia de flujo.
- En latitudes extratropicales (30-45°S), sobresale los mayores valores de relación de mezcla, mayores a 5 g/Kg, a partir de la segunda decadiaria, en concordancia con la intrusión de vientos del norte.

Fig. 13 HOVMOLLER RELACIÓN DE MEZCLA (g/kg) (shaded) Y VIENTO (barbas) 925 hPa PROMEDIO

